

既設の耐震壁付き RC ラーメン橋脚の耐荷性状に関する検討

(株) 構研エンジニアリング 正会員 ○伊藤 雄二
土木研究所寒地土木研究所 正会員 岡田 慎哉
室蘭工業大学 フェロー 岸 徳光

(株) 構研エンジニアリング 正会員 京田 英宏
土木研究所寒地土木研究所 正会員 西 弘明
室蘭工業大学 正会員 張 広鋒

1.はじめに

1995年兵庫県南部地震を契機に、鉄筋コンクリート（以下、RCと略す）橋脚の耐震性能の照査および耐震補強が進められているが、耐震壁付きRCラーメン橋脚に関する明確な耐震設計法は確立されていない。本研究では、一般国道231号石狩河口橋の耐震壁付きRCラーメン橋脚を対象として、汎用有限要素解析コードDIANAによるプッシュオーバー解析を実施し、耐震壁の有無がRCラーメン橋脚の耐荷性状に及ぼす影響について検討を行った。

2. 解析対象

石狩河口橋は一般国道231号の石狩川河口から約5.5km上流に位置する橋長1,412.7mの長大橋梁である。解析対象橋脚は、石狩河口橋主橋梁部の三径間連続鋼斜張橋の耐震壁付きRCラーメン橋脚である。支承条件は、橋軸方向には対象橋脚における一点固定、橋軸直角方向には全点固定であり、主塔基部は橋脚上にピン支持されている。設計基準は鋼道路橋設計示方書（昭和39年）であり、耐震設計は、震度法により設計水平震度 $k_h=0.2$ で設計されている。

3. 解析概要

3.1 解析モデル

図-1には解析対象橋脚の概要図を、表-1には柱部材の主鉄筋比を示している。橋脚基部から3.0mの高さに主鉄筋段落し部がある。図-2には、解析モデルを主鉄筋段落し部

(S1) および降伏評価位置と併せて示している。本論文では、耐震壁の効果について明確にするため、耐震壁の有るモデルと耐震壁の無いモデルの2タイプを作成した。ここで、躯体には三次元固体要素を、鉄筋には埋込鉄筋要素を使用した。上部構造、支承、主塔をモデル化する場合には剛体と仮定した。また、基礎は考慮せず橋脚基部を完全固定とした。本研究では、2タイプについて汎用有限要素解析コードDIANAを用いてプッシュオーバー解析を行った。

プッシュオーバー解析は、自重解析後、橋軸および橋軸直角方向に対して変位制御により実施した。変位制御位置は、橋軸方向の場合には支承部、橋軸直角方向の場合には主塔のケーブル定着部に設定している。なお、支点反力については主塔基部に分布荷重として与えた。

図-3には、材料構成則を示している。鉄筋については、降伏後の塑性硬化を考慮したモデルを適用した。降伏の判

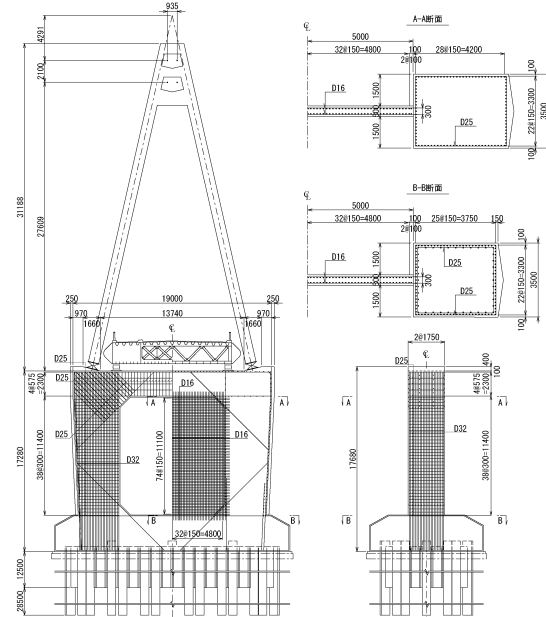


図-1 解析対象橋脚

表-1 柱部材主鉄筋比

| 断面 | 主鉄筋 | | 帶鉄筋 | |
|-----------------|--------------------------------------|--------|------------------------|--------|
| | 配筋量 | 鉄筋比 | 配筋量 | 鉄筋比 |
| 段落し部 (3.0 m) | D32×46 D32×48 | 0.516% | D25ctc300 | 0.023% |
| 基部 | D32×46 D32×48 D32×22 D32×18 | 0.760% | D25ctc300 D25ctc300 | 0.048% |

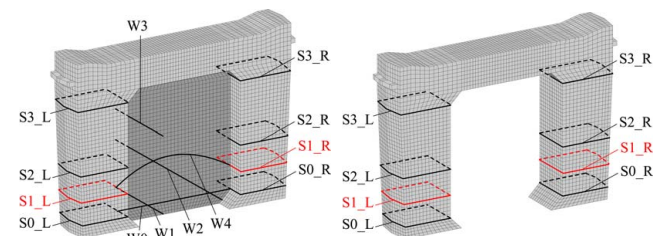


図-2 解析モデル

キーワード RC ラーメン橋脚、耐震壁、耐荷性状、有限要素解析

連絡先 ☎065-8510 札幌市東区北18条東17丁目1番1号 (株)構研エンジニアリング 橋梁部 TEL.011-780-2816 FAX.011-785-1501

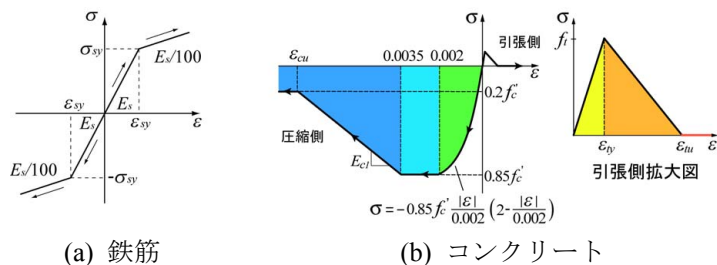


図-3 材料構成則

定には von Mises の降伏条件を適用した。コンクリートについては、圧縮側は $3,500 \mu$ までコンクリート標準示方書に準じ、 $3,500 \mu$ 以降は初期弾性係数の 0.05 倍で引張強度の 0.2 倍まで線形軟化するモデルを適用した。一方、引張側は線形軟化モデルを適用し、終局ひずみは鉄筋の降伏ひずみとほぼ等しい値とした。降伏の判定には von Mises の降伏条件を適用した。ここで、解析に使用する材料物性値はすべて設計値に基づいて設定した。

4. 解析結果

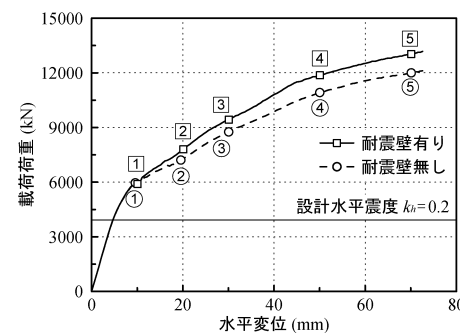
図-4 には、橋軸方向載荷時の載荷荷重一水平変位関係と、着目点 5 におけるコンクリート要素の鉛直方向ひずみ分布を示している。耐震壁の有無に因らず、主鉄筋段落し部 (S1) および柱部材基部 (S0) の損傷にともない降伏しており、着目点 5 における鉛直ひずみ分布にも差異は見られない。なお、設計水平震度 0.2 では鉄筋の降伏は発生していない。

図-5 には、橋軸直角方向載荷時の載荷荷重一水平変位関係と、着目点 8 におけるコンクリート要素の鉛直方向ひずみ分布を示している。耐震壁の有る場合には、左側柱部材基部 (S0_L) および主鉄筋段落し部 (S1_L) の損傷にともない耐震壁端部 (W1) に損傷が発生し、荷重勾配が低下している。その後、損傷は左側柱部材中央 (S2) へと広がり、耐震壁中央部 (W2) に壁部材を横断する斜めひび割れが発生している。したがって、壁式橋脚に近い挙動を示していると考えられる。一方、耐震壁の無い場合には、柱部材の複数箇所に損傷が発生しており、荷重レベルも設計水平震度 0.2 (2000kN) 程度の差が確認できる。なお、設計水平震度 0.2 では鉄筋の降伏は発生していない。

5.まとめ

本研究により得られた知見は、以下の通りである。

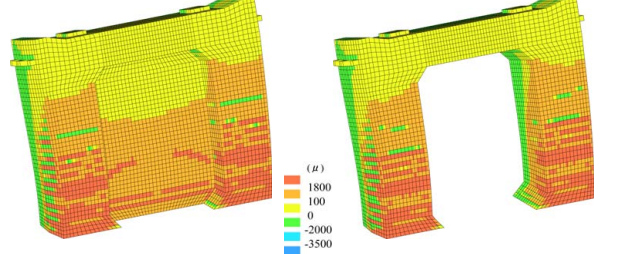
- 1) 橋軸方向、橋軸直角方向とともに、当初設計時の設計水平震度に対して余耐力を有している。
- 2) 橋軸方向には、耐震壁による耐荷性状の差は見られない。
- 3) 橋軸直角方向には、耐震壁により壁式橋脚に近い耐荷性状を示していると考えられる。



(a) 載荷荷重一水平変位関係

| 着目点 | ① | ② | ③ | ④ | ⑤ | 着目点 | ① | ② | ③ | ④ | ⑤ |
|-------------|---|-------|-------|-------|----|-------------|---|-------|-------|-------|---|
| コンクリートの降伏位置 | — | S1_LR | S0_LR | S2_LR | W1 | コンクリートの降伏位置 | — | S1_LR | S0_LR | S2_LR | — |
| 鉄筋の降伏位置 | — | — | S0_LR | S1_LR | W0 | 鉄筋の降伏位置 | — | — | S0_LR | S1_LR | — |

| 着目点 | ① | ② | ③ | ④ | ⑤ | 着目点 | ① | ② | ③ | ④ | ⑤ |
|-------------|---|-------|-------|-------|----|-------------|---|-------|-------|-------|---|
| コンクリートの降伏位置 | — | S1_LR | S0_LR | S2_LR | W1 | コンクリートの降伏位置 | — | S1_LR | S0_LR | S2_LR | — |
| 鉄筋の降伏位置 | — | — | S0_LR | S1_LR | W0 | 鉄筋の降伏位置 | — | — | S0_LR | S1_LR | — |

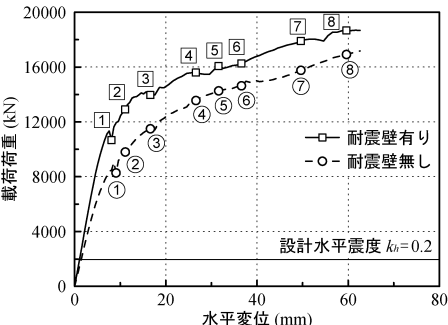


i) 耐震壁有り

ii) 耐震壁無し

(b) コンクリート要素 鉛直方向ひずみ分布 (着目点 5)

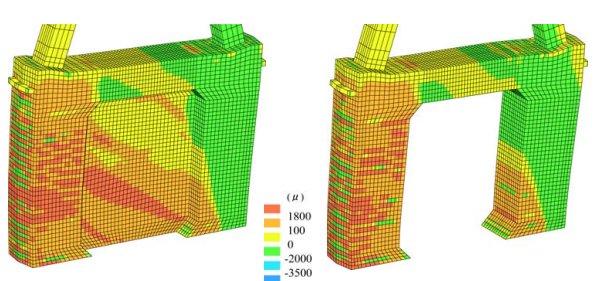
図-4 橋軸方向載荷 解析結果



(a) 載荷荷重一水平変位関係

| 着目点 | ① | ② | ③ | ④ | ⑤ | ⑥ | ⑦ | ⑧ |
|-------------|---|------|---------|---------|---------|---|----|----|
| コンクリートの降伏位置 | — | S0_L | S1_L_W1 | S2_L | W2 | — | W3 | — |
| 鉄筋の降伏位置 | — | — | S0_L | S1_L_W1 | S2_L_W2 | — | — | W3 |

| 着目点 | ① | ② | ③ | ④ | ⑤ | ⑥ | ⑦ | ⑧ |
|-------------|---|------|------|-----------|------|-----------|------|------|
| コンクリートの降伏位置 | — | S0_L | — | S1_L_S3_L | — | S0_R_S2_L | — | — |
| 鉄筋の降伏位置 | — | — | S0_L | — | S1_L | — | S2_L | S3_L |



i) 耐震壁有り

ii) 耐震壁無し

(b) コンクリート要素 鉛直方向ひずみ分布 (着目点 8)

図-5 橋軸直角方向載荷 解析結果